

ΦΥΣΙΚΟΧΗΜΕΙΑ Ι (ΧΗΜ-048)

ΜΟΡΙΑΚΗ ΦΑΣΜΑΤΟΣΚΟΠΙΑ

Ομάδα ασκήσεων 3 : Ατομική δομή και φασματοσκοπία

A. Άτομο Υδρογόνου¹

- Για το άτομο του υδρογόνου :
 - Να γράψετε τις κανονικοποιημένες κυματοσυναρτήσεις Ψ_{1s} , Ψ_{2s} , Ψ_{2p} .
 - Να υπολογίσετε την πιθανότητα το ηλεκτρόνιο να ευρίσκεται σε όγκο 1 pm^3 γύρω από τον πυρήνα και σε απόσταση a_0 (ακτίνα Bohr) από τον πυρήνα.
 - Πού εμφανίζονται μέγιστα οι κυματοσυναρτήσεις Ψ_{1s} και Ψ_{2s} , και οι αντίστοιχες πιθανότητες $P(r)$ εύρεσης του ηλεκτρονίου σε σφαίρα ακτίνας r ;
 - Ποιά είναι η μέση ακτίνα του ατομικού τροχιακού $1s$; ($\langle r \rangle = 0,79 \text{ \AA}$)
- Να αναγράψετε τις μαθηματικές σχέσεις για τις ακόλουθες κυματοσυναρτήσεις του ατόμου του Υδρογόνου: Ψ_{100} , Ψ_{200} , Ψ_{210} , $\Psi_{21\pm 1}$, Ψ_{300} , Ψ_{310} , $\Psi_{31\pm 1}$.
Να προτείνετε τους κατάλληλους γραμμικούς συνδυασμούς των κυματοσυναρτήσεων που αποδίδουν τις εκφράσεις για τα τροχιακά $2p_x$, $2p_y$.
- Να σχεδιάσετε στο επίπεδο τη μορφή των ατομικών τροχιακών $1s$, $2s$, $3s$ υποδεικνύοντας τις κομβικές επιφάνειες. Ομοίως τα τροχιακά $2p_x$, $2p_y$, $2p_z$ και $3d_{xy}$, $3d_{xz}$, $3d_{yz}$, $3d_z^2$, $3d_x^2-y^2$ υποδεικνύοντας τα πρόσημα της αντίστοιχης κυματοσυνάρτησης στους λοβούς.
- Να δείξετε ότι Ψ_{100} , Ψ_{200} είναι ορθογώνιες μεταξύ τους (ER-P20-3)
- Να αναγράψετε τις μαθηματικές σχέσεις που περιγράφουν τις κυματοσυναρτήσεις του ατόμου H για $N = 3$, $\ell = 2$, $m_\ell = +2, +1, 0, -1, -2$, δηλαδή τα ατομικά τροχιακά $3d$. Να δείξετε με σαφήνεια το ακτινικό τμήμα $R_{n\ell}(r)$ και το σφαιρικό τμήμα $Y_\ell^m(\theta, \varphi)$, της κυματοσυνάρτησης.
 - Στη συνέχεια λαμβάνοντας κατάλληλους γραμμικούς συνδυασμούς των κυματοσυναρτήσεων να παραγάγετε τα συνήθη τροχιακά d_{xy} , d_{xz} , d_{yz} , d_z^2 , $d_x^2-y^2$.
- Να παραστήσετε διαγραμματικά (σε 2 διαστάσεις – Graph, Origin) τις κυματοσυναρτήσεις Ψ_{n00} , που αντιστοιχούν στα ατομικά τροχιακά $1s$, $2s$, $3s$ καθώς και τα $(\Psi_{n00})^2$ και $4\pi^2(\Psi_{n00})^2$. (Υπόδειξη: Αν κρατήσετε την κλίμακα στον άξονα x (δηλαδή r) σταθερή θα έχετε άμεση εικόνα του «μεγέθους» των τροχιακών).
- (AtΦΧ-Π9.8) Το positronium είναι σύστημα ανάλογο του ατόμου H, αποτελούμενο από ένα ηλεκτρόνιο και ένα ποζιτρόνιο που περιφέρονται γύρω από το κοινό κέντρο μάζας τους (ποζιτρόνιο: $m_p = m_e$, $Q_p = +e$). Θεωρώντας ότι τα ενεργειακά επίπεδα του positronium είναι αντίστοιχα αυτών του ατόμου H (οι όποιες διαφορές οφείλονται στη διαφορετική μάζα του συστήματος) να προσδιορίσετε τις

¹ Οι Ασκήσεις 1-13 καλύπτουν εν μέρει ως επανάληψη το άτομο του Υδρογόνου όσον αφορά στα ενεργειακά του επίπεδα και τις κυματοσυναρτήσεις του (τόσο ως συναρτησιακές εκφράσεις όσο και ως γραφικές αποτυπώσεις στο επίπεδο/χώρο). Βοηθούν επίσης στην κατανόηση της έννοιας της διπολικής ροπής μετάβασης (Ασκ. 9) στην εξοικείωση με τα φάσματα εκπομπής και τις σχετικές μεταβάσεις (Ασκ. 11, 12) ενώ αποκαλύπτουν τη λεπτή υφή στα ενεργειακά επίπεδα του H που προκύπτει λόγω της αλληλεπίδρασης spin-τροχιακής στροφορμής (Ασκ. 13).

συχνότητες των 3 πρώτων γραμμών Lyman (σε cm^{-1}) καθώς και την ενέργεια σύνδεσης που αντιστοιχεί στη θεμελιώδη κατάσταση.

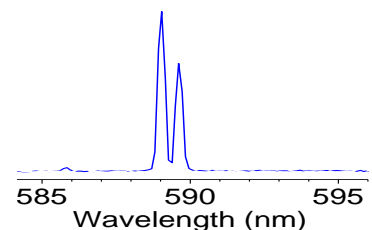
8. Να υπολογίσετε τη μάζα του δευτερίου (D) με δεδομένο ότι η πρώτη γραμμή της σειράς Lyman του D ευρίσκεται στα $82281.476 \text{ cm}^{-1}$ (ενώ του H ευρίσκεται στα $82259.098 \text{ cm}^{-1}$).
9. α) Να προσδιορίσετε την τιμή της διπολικής ροπής μετάβασης, κατά τον άξονα z, για τις ακόλουθες ηλεκτρονιακές μεταβάσεις στο άτομο του H: $1s \rightarrow 2s$, $2s \rightarrow 4s$, $1s \rightarrow 2p_z$, $1s \rightarrow 2p_x$.
Υπόδειξη: πρέπει να υπολογιστούν τα ολοκληρώματα : $\langle 1s|z|2s \rangle$, $\langle 2s|z|4s \rangle$, $\langle 1s|z|2p_z \rangle$, $\langle 1s|z|2p_x \rangle$.
Ισχύει : $(M_z)_{2s \leftarrow 1s} = \langle 1s|z|2s \rangle = \int \Psi_{1s} z \Psi_{2s} dt$ (Οι όροι τύπου $\langle 1s|z|2s \rangle$ αποτελούν συντομογραφία του αντίστοιχου ολοκληρώματος σύμφωνα με το συμβολισμό Dirac).
β) Στη συνέχεια να συσχετίσετε το αποτέλεσμα με τους κανόνες επιλογής μονο-φωτονικών μεταβάσεων σε άτομα.
10. Μονο-ηλεκτρονιακά ιόντα (He^+ , Li^{2+} , Be^{3+}) περιγράφονται από υδρογονοειδείς κυματοσυναρτήσεις, στις οποίες ο όρος $(1/a_0)$ έχει αντικατασταθεί από το (Z/a_0) , όπου Z ο ατομικός αριθμός του ιόντος. Να προσδιορίσετε τη μέση ακτίνα, $\langle r \rangle$, για το ηλεκτρόνιο 1s των παραπάνω ιόντων. Να ερμηνεύσετε το αποτέλεσμα. (ER-P20-14).
11. Με βάση τα μήκη κύματος των γραμμών Balmer στο φάσμα εκπομπής του ατόμου του H να προσδιορίσετε το δυναμικό ιοντισμού του H και την τιμή της σταθεράς Rydberg. Επίσης να υπολογίσετε το μήκος κύματος που αντιστοιχεί σε μετάβαση στα επίπεδα $n = 10, 20, 100$. Ποιο είναι το όριο της σειράς Balmer;
12. Η σειρά «Humphreys» αποτελεί ένα άλλο σύνολο γραμμών στο φάσμα του H, με εκκίνηση στα 12368 nm, ενώ γραμμές εκπομπής ανιχνεύονται μέχρι 3281,4 nm.
α) Σε ποιες μεταβάσεις οφείλονται οι γραμμές? Να αναγράψετε τις τιμές λ για τις ενδιάμεσες γραμμές και να δώσετε και τις τιμές συχνότητας σε cm^{-1} .
β) Ποιο είναι το όριο της σειράς?
13. Καταγραφή της γραμμής Balmer ($n'=3 \rightarrow n''=2$) στο φάσμα εκπομπής του ατόμου του υδρογόνου με πολύ υψηλή φασματική ανάλυση (0.001 nm) αποκαλύπτει τη λεπτή υφή του φάσματος (fine structure) το οποίο παρουσιάζει 7 γραμμές. Με βάση τα δεδομένα που παρατίθενται στον ιστότοπο του NIST να καταρτίσετε κατάλληλο διάγραμμα Grottrian και να σημειώσετε τις μεταβάσεις που είναι υπεύθυνες για τη λεπτή υφή του φάσματος. (Στις διαφάνειες του μαθήματος υπάρχει λεπτομερέστερη περιγραφή της άσκησης ενώ δίνονται διαγραμματικά και κάποιες απαντήσεις).

B. Πολυ-ηλεκτρονιακά άτομα²

14. Να προσδιορίσετε τη συνολική τροχιακή στροφορμή L , που αντιστοιχεί στις ακόλουθες ηλεκτρονιακές διατάξεις: $ns^1(n+1)s^1$, ns^1np^1 , ns^1np^2 , ns^1nd^1 , np^1nd^1 .
15. α) Να δείξετε ότι η ακόλουθη κυματοσυνάρτηση ΔΕΝ είναι αποδεκτή (αρχή Pauli) για το άτομο του He. (οι αριθμοί 1 και 2 εντός παρενθέσεων υποδηλώνουν τις συντεταγμένες των 2 ηλεκτρονίων αντίστοιχα).

$$\Psi_{He}(1s^2) = 2^{-1/2} 1s(1)1s(2) [\alpha(1)\beta(2) + \alpha(2)\beta(1)]$$

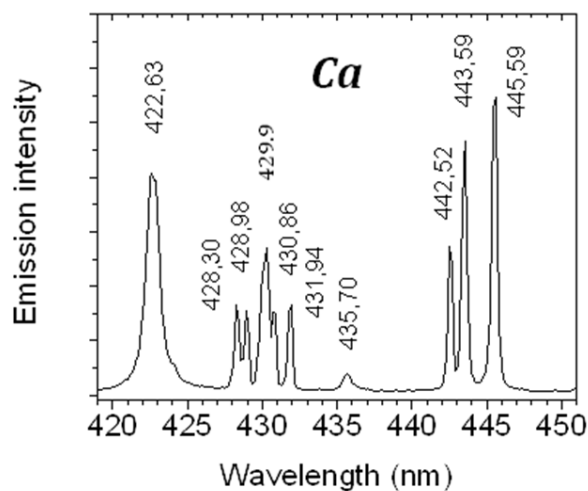
 Ποια είναι η αποδεκτή κυματοσυνάρτηση?
- β) Να αναγράψετε τις αποδεκτές κυματοσυναρτήσεις της διεγερμένης κατάστασης του He ($1s^12s^1$) και να διακρίνετε την κατάσταση singlet ($S=0$) από την κατάσταση triplet ($S=1$).
16. Για τους ακόλουθους φασματοσκοπικούς όρους : 1S , 2P , 3P , 3D , 4D :
- α) να αναγράψετε τους κβαντικούς αριθμούς ολικού spin (S), ολικής τροχιακής στροφορμής (L).
- β) να υπολογίσετε τις δυνατές τιμές για τον κβαντικό αριθμό της ολικής στροφορμής (J) και τον εκφυλισμό κάθε επιπέδου με βάση την τιμή του J .
17. α) Βάσει δεδομένων από τη βάση του NIST, για το ιόν του βαρίου (Ba^+) να αναγράψετε τις τιμές μήκους κύματος λ , που εμφανίζονται οι δύο γραμμές εκπομπής οι οποίες προκύπτουν κατά την αποδιέγερση του ηλεκτρονίου από το χαμηλότερης ενέργειας τροχιακό p προς το θεμελιώδες επίπεδο $[Xe]6s^1$. Επίσης να αναφέρετε τους σχετικούς φασματοσκοπικούς όρους και την τιμή ενέργειας καθενός.
- β) Στη συνέχεια να προσδιορίσετε τη σταθερά σύζευξης spin-orbit στο τροχιακό $6p$.
- γ) Να επαναλάβετε τον υπολογισμό για το τροχιακό $5d$ στο Ba^+ .
18. Ποια είναι η σχετική διάσχιση λόγω σύζευξης spin-orbit μεταξύ των επιπέδων (δηλ. των διαφορετικών J) που προκύπτουν για φασματοσκοπικό όρο 3D ?
19. α) Έστω αέριο ατομικό H σε θερμοκρασία 1000, 10000 και 100000 K. Να υπολογίσετε το λόγο των πληθυσμών της πρώτης διεγερμένης στάθμης ($2s$) ως προς τη θεμελιώδη ($1s$) θεωρώντας ότι ισχύει η κατανομή Boltzmann.
- β) Να επαναλάβετε το ίδιο για τα ενεργειακά επίπεδα $^2P_{3/2}$ και $^2P_{1/2}$, του Na^* : $[Ne]3p^1$, ως προς τη θεμελιώδες επίπεδο του Na ($^2S_{1/2}$), σε θερμοκρασία $T = 10 \times AM$ (όπου $AM =$ ο αριθμός μητρώου σας). Να σχολιάσετε το αποτέλεσμα σε σχέση με το φάσμα, που παρατηρούμε πειραματικώς (το οποίο αντιστοιχεί σε θερμοκρασία περίπου 1500 K).



² Οι Ασκήσεις 14-27 μας εισάγουν στη δομή των πολύ-ηλεκτρονιακών ατόμων και την ερμηνεία των φασμάτων τους μέσω της ανάλυσης των φασματοσκοπικών όρων. Συνδέονται με την Άσκηση της Ατομικής Φασματοσκοπίας του Εργ. ΦΧ-Ι.

21. α) Καταρτίζοντας τον κατάλληλο πίνακα μικροκαταστάσεων, που αντιστοιχούν σε ηλεκτρονιακή διάταξη d^2 (ηλεκτρόνια στην ίδια υποστιβάδα) να προσδιορίσετε τους φασματοσκοπικούς όρους που προκύπτουν και να τους διατάξετε κατ' αύξουσα τιμή ενέργειας. (HB-4.6b)
- β) Να παρουσιάσετε διαγραμματικά (σε κλίμακα) τα ενεργειακά επίπεδα του Ti ($[Ar]3d^24s^2$). Οι τιμές ενέργειας των επιπέδων δίδονται στο σχετικό ιστότοπο του NIST. Να ελέγξετε αν τα επίπεδα διατάσσονται ενεργειακά σύμφωνα με τους κανόνες του Hund.
22. α) Να προσδιορίσετε τους φασματοσκοπικούς όρους που αντιστοιχούν σε ηλεκτρονιακή διάταξη ns^1d^1 και να τους διατάξετε κατ' αύξουσα τιμή ενέργειας.
- β) Στη συνέχεια να παραστήσετε διαγραμματικά (σε κλίμακα) τα ενεργειακά επίπεδα που προκύπτουν για το διεγερμένο στρόντιο, Sr ($5s^14d^1$ και $5s^15d^1$). Οι τιμές ενέργειας των επιπέδων δίδονται στο σχετικό ιστότοπο του NIST.
23. Να προσδιορίσετε το φασματικό όρο ελάχιστης ενέργειας (θεμελιώδη κατάσταση) των ατόμων στην 5^η περίοδο του περιοδικού πίνακα: Rb, ..., Xe.
- Υπόδειξη: Να δείξετε την ηλεκτρονιακή διάταξη κάθε στοιχείου και να υπολογίσετε τα S(max), L(max), J (max ή min κατά περίπτωση).
24. Να αναγράψετε την ηλεκτρονιακή διάταξη που αντιστοιχεί στη χαμηλότερη ενεργειακή κατάσταση του N^+ (κατιόν ατομικού αζώτου) και να δώσετε τον συνολικό αριθμό μικροκαταστάσεων που αντιστοιχούν στη διάταξη αυτή.

25. Να αναλύσετε πλήρως (ηλεκτρονιακή διάταξη, ενεργειακά επίπεδα, φασματοσκοπικοί όροι, κανόνες επιλογής) το φάσμα εκπομπής ατομικού ασβεστίου, Ca, που παρατίθεται στο ακόλουθο διάγραμμα. Οι απαραίτητες πληροφορίες υπάρχουν στον ιστότοπο του NIST. (Σημείωση: λόγω μη επαρκούς διακριτικής ικανότητας του φασματογράφου μία εκ των γραμμών εκπομπής δεν φαίνεται καθαρά στο φάσμα. Ποια είναι αυτή;)

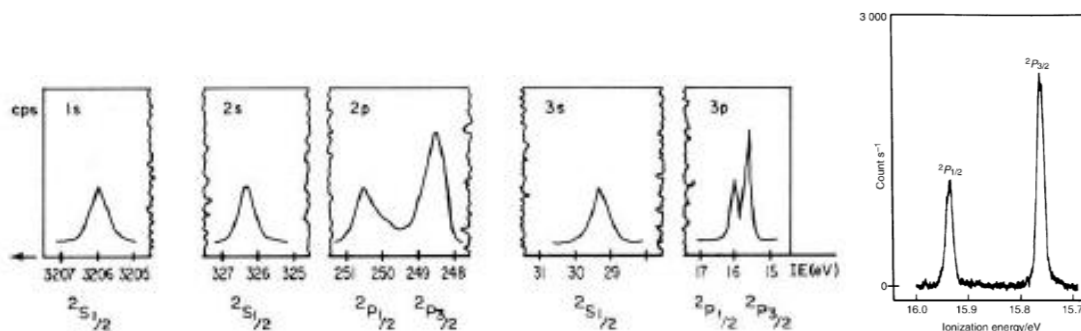


26. α) Να προσδιορίσετε τους φασματοσκοπικούς όρους και τα επίπεδα για το άτομο του πυριτίου, Si, στη διεγερμένη ηλεκτρονιακή διάταξη $[Ne]3s^23p^13d^1$. Τι παρατηρείτε σε σχέση με τις τιμές ενέργειας των επιπέδων; Ακολουθούν τους κανόνες του Hund; Να συζητήσετε. Οι τιμές ενέργειας των επιπέδων δίδονται στον ιστότοπο του NIST.
- β) Να καταρτίσετε διάγραμμα συσχέτισης των καταστάσεων του Si ($[Ne]3s^23p^13d^1$) με τις αντίστοιχες του άνθρακα ($1s^22s^22p^12d^1$). Να συζητήσετε την εικόνα του διαγράμματος

27. Ενεργειακές καταστάσεις ατόμων στις οποίες ένα εκ των εξωτερικών ηλεκτρονίων ευρίσκεται σε στιβάδα που αντιστοιχεί σε υψηλή τιμή του κβαντικού αριθμού n , ονομάζονται καταστάσεις Rydberg. Αν θεωρήσουμε το άτομο του H στην κατάσταση Rydberg με $n = 100$, να υπολογιστεί η ελάχιστη ταχύτητα ελεύθερου ηλεκτρονίου η οποία είναι απαραίτητη ώστε κρούση του ηλεκτρονίου με το H να οδηγήσει σε ιοντισμό.
28. Να προσδιορίσετε τη διαπλάτυνση Doppler για τη μετάβαση $3p \ ^2P_{3/2} \rightarrow 3s \ ^2P_{1/2}$, του νατρίου σε θερμοκρασία 500 K. (ER-P22.15)

Φασματοσκοπία φωτο-ηλεκτρονίων³

29. Να υπολογίσετε την ενέργεια ιοντισμού του όρου $^1P (1s^1 2p^1)$ για το άτομο του He. Η ενέργεια ιοντισμού από τη θεμελιώδη είναι 24,6 eV ενώ το μήκος κύματος, που αντιστοιχεί στη μετάβαση από τη θεμελιώδη στην 1P είναι 58,44 nm.
30. Ακτινοβολία μήκους κύματος $\lambda = 58,4$ nm προερχόμενη από λυχνία Ηλίου ακτινοβολεί δείγμα αερίου κρυπτού (Kr) προκαλώντας εκπομπή ηλεκτρονίων ταχύτητας $1,59 \times 10^6$ ms⁻¹. Να προσδιορίσετε την ενέργεια ιοντισμού του Kr.
31. Να ερμηνεύσετε τη μορφή του φάσματος φωτοηλεκτρονίων του Αργού με βάση την ηλεκτρονιακή διάταξη (electron configuration) και τους αντίστοιχους φασματοσκοπικούς όρους του κατιόντος. Στη συνέχεια να δείξετε το ενεργειακό διάγραμμα ατομικών τροχιακών του Αργού.



32. Να επαναλάβετε την άσκηση για το Al και να αναζητήσετε στη βιβλιογραφία τις τιμές ενέργειας δέσμευσης του ηλεκτρονίου στα διάφορα τροχιακά του ατόμου.

³ Οι Ασκήσεις 27-32 μας εισάγουν στις εφαρμογές του φωτοηλεκτρικού φαινομένου και της φασματοσκοπίας φωτοηλεκτρονίων αναφορικά με τη μελέτη της δομής των εσωτερικών στιβάδων των πολύ-ηλεκτρονιακών ατόμων και τον προσδιορισμό της ενέργειας των ατομικών τροχιακών (ή της ενέργειας δέσμευσης των ηλεκτρονίων).

33. Να ερμηνεύσετε τη μορφή του φάσματος φωτοηλεκτρονίων του Hg με βάση την ηλεκτρονιακή διάταξη (electron configuration) και τους αντίστοιχους φασματοσκοπικούς όρους του κατιόντος. Να αναζητήσετε στη βιβλιογραφία τις τιμές ενέργειας δέσμωσης που αντιστοιχούν στις κορυφές που φαίνονται στο φάσμα.

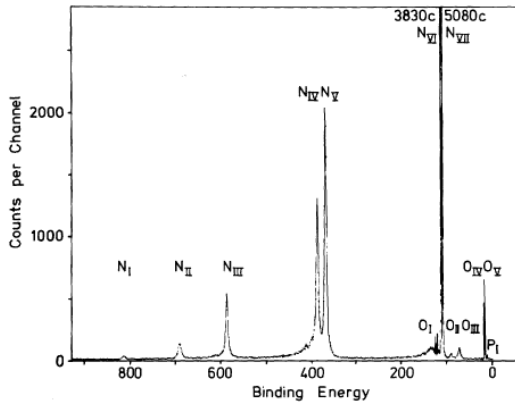


Fig. 18.17. The photoelectron spectrum of Hg vapour, after K. Siegbahn (overview of the spectrum). All the levels which can be excited with the K_{α} radiation from Al are to be seen. These are the N and O shells, as well as P_I . Compare also the electron configuration of the Hg atom from Table 19.3 b

34. Να ερμηνεύσετε τις κορυφές που φαίνονται στα ακόλουθα φάσματα φωτοηλεκτρονίων με βάση την ηλεκτρονιακή διάταξη (electron configuration) και τους αντίστοιχους φασματοσκοπικούς όρους των ατομικών κατιόντων.

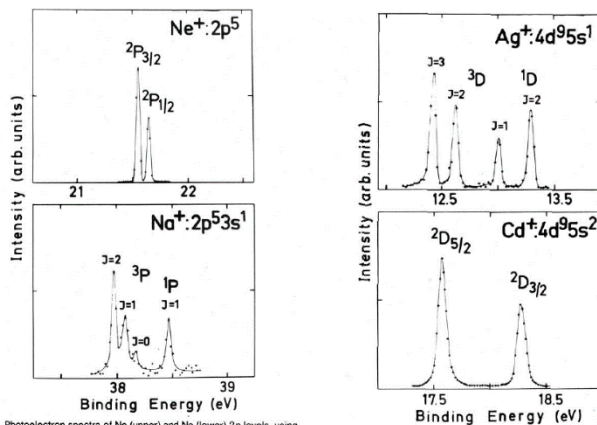


Figure 1. Photoelectron spectra of Ne (upper) and Na (lower) 2p levels, using He II 40.8 eV radiation source; Binding energy is defined as the energy difference between the ground state of the neutral atom and the final state of the ion.

Figure 2. Photoelectron spectra of Ag (upper) and Cd (lower) 4d levels, using He II 40.8 eV radiation source.

NIST : http://physics.nist.gov/PhysRefData/ASD/lines_form.html

Harvard : <http://www.cfa.harvard.edu/amp/ampdata/kurucz23/sekur.html>

Atomic spectra <http://www.itp.uni-hannover.de/~zawischa/ITP/atoms.html>

Πρόσθετες ασκήσεις από τα σχετικά κεφάλαια στο μάθημα Φυσική-II

Lecture20230524.pdf

Chapter40-Problems.pdf

Ομάδα Ασκήσεων 3, Άσκηση 12 (Άτομο υδρογόνου) (Λύση)

(ΑτΦΧ-Π8Γ1, ΑτΦΧ-2014-Π9.1) Η σειρά «Humphreys» αποτελεί ένα άλλο σύνολο γραμμών στο φάσμα του Η, με εκκίνηση στα 12368 nm, ενώ γραμμές εκπομπής ανιχνεύονται μέχρι 3281,4 nm.

α) Σε ποιες μεταβάσεις οφείλονται οι γραμμές? Να αναγράψετε τις τιμές λ για τις ενδιάμεσες γραμμές και να δώσετε και τις τιμές συχνότητας σε cm^{-1} .

β) Ποιο είναι το όριο της σειράς?

α) Η συνδυαστική αρχή του Ritz οδηγεί στο υπολογισμό της συχνότητας ή μήκους κύματος που εμφανίζονται οι γραμμές σε φάσματα εκπομπής του Η.

$$\tilde{\nu} = R_H \left(\frac{1}{n_1^2} - \frac{1}{n_2^2} \right) \quad (1)$$

όπου n_1 και n_2 υποδηλώνουν το κατώτερο και ανώτερο ενεργειακά επίπεδα αντίστοιχα (δηλ η εκπομπή λαμβάνει χώρα από n_2 προς n_1).

Η εκκίνηση της σειράς, που παρατηρείται στα 12368 nm, αντιστοιχεί στη μετάβαση από $n_2 = n_1 + 1$ προς n_1 .

Άρα ισχύει :

$$\tilde{\nu} = R_H \left(\frac{1}{n_1^2} - \frac{1}{(n_1 + 1)^2} \right) = R_H \frac{2n_1 + 1}{n_1^2 (n_1 + 1)^2} \approx R_H \frac{2}{n_1^3} \Rightarrow n_1 \approx \sqrt[3]{\frac{R_H}{\tilde{\nu}}} \quad \text{ή} \quad n_1 \approx \sqrt[3]{R_H (10^{-7} \lambda)}$$

Αντικαθιστώντας $R_H = 109677.581 \text{ cm}^{-1}$ και $\lambda = 12368 \text{ nm}$ προκύπτει $n_1 \approx 6.5$ άρα $n_1 = 6$.

Η προσέγγιση, που δεχτήκαμε είναι κάπως δραστική αλλά το αποτέλεσμα μας «δικαιώνει» καθώς αν στην (1) θέσουμε $n_2 = 7$ και $n_1 = 6$ επαληθεύεται η τιμή του λ (12371.9 nm).

β) Το όριο της σειράς (δηλ. η οριακή τιμή του ν ή του λ) προκύπτει αν θέσουμε $n_2 = \infty$, οπότε λαμβάνουμε :

$$\tilde{\nu} = \left(\frac{R_H}{6^2} \right) = 3046.6 \text{ cm}^{-1} \quad \text{και} \quad \lambda = 3282.35 \text{ nm.}$$

Στη συνέχεια μεταφερόμαστε στο excel ή στο origin και υπολογίζουμε ν και λ για τις πρώτες 24 γραμμές ($n=30$) της σειράς καθώς γίνεται αντιληπτό ότι οι ζητούμενες από την άσκηση «ενδιάμεσες γραμμές» είναι άπειρες.

Υπολογισμοί στο excel : wavenumber = $109677.581 * ((6^2) - (n^2))$ και lambda = $10^7 * (\text{wavenumber})^{-1}$

n1	n2	wavenumber	lambda
6	7	808.2814926	12371.92747
	8	1332.887269	7502.509951
	9	1692.555262	5908.226586
	10	1949.823662	5128.668912
	11	2140.173183	4672.519065
	12	2284.949604	4376.464138
	13	2397.619703	4170.803229
	14	2487.019977	4020.876427
	15	2559.143557	3907.557266
	16	2618.171421	3819.459611
	17	2667.092272	3749.401589
	18	2708.08842	3692.641617
	19	2742.783458	3645.931278
	20	2772.40552	3606.975938
	21	2797.897474	3574.112379
	22	2819.9929	3546.108219
	23	2839.269451	3522.032752
	24	2856.187005	3501.17131
	25	2871.115343	3482.967003
	26	2884.35453	3466.980184
	27	2896.150116	3452.859693
	28	2906.704598	3440.322076
	29	2916.186177	3429.136342
	30	2924.735493	3419.112608